

## Avaliação de Códigos Fontanais

**Aluno: Andréa Micheli Alzugir**

**Orientador: Weiler A. Finamore**

### Introdução

A comunicação se realiza através da transmissão da mensagem que desejamos enviar, através de um meio, e esperamos que o receptor consiga determiná-la de maneira correta mesmo diante de adversidades.

Em um sistema de comunicação real depara-se com diferentes problemas, em especial, certas perturbações introduzidas pelo meio de comunicação, geram apagamento de informações. O que ocorre quando se envia informação através de um meio modelado como um canal com apagamento, é que a informação recebida pode ser, reconhecidamente, diferente da que foi transmitida. No nosso trabalho estamos interessados em sistemas em que a informação produzida pela fonte é binária e consideramos que estas informações binárias são agrupadas em blocos (ou **pacote de mensagem**) formando a mensagem a ser enviada. Nessas condições, portanto, pode ocorrer que a mensagem produzida pela fonte (uma seqüência de pacotes) é enviada através do canal e pode ser recebida com alguns pacotes apagados (irreconhecíveis). A internet é um exemplo simples e clássico onde a comunicação é feita através da troca de informação sob forma de pacotes.

Uma solução usada para o problema do recebimento de informações apagadas (pacotes reconhecidamente com erros) usa um canal de retorno (feedback channel), entre o receptor e o transmissor, através do qual faz-se uma solicitação de retransmissão dos pacotes corrompidos (ou apagados). No entanto, um método recentemente descoberto, propõe como solução proteger os pacotes, antes de enviá-los através do canal, submetendo-os, a um processamento denominado por códigos fontanais (trabalharemos com a implementação conhecida como códigos LT - Luby Transform).

Os códigos fontanais foram desenvolvidos de maneira a gerar, na saída do codificador, uma seqüência de bits de tamanho muito grande (potencialmente contendo um número infinito de bits), ditos **pacotes codificados**, gerados a partir dos pacotes de entrada, que agregam a informação original (pacotes gerados pela fonte) e informação redundante. Os pacotes codificados são produzidos através de operações simples. Usando os pacotes codificados que foram recebidos corretamente (não foram apagados) pode-se construir um receptor que é capaz de recuperar a informação original. Podemos visualizar tal processo através do diagrama em blocos ilustrado abaixo.



Figura 1: Sistema de comunicações

O código fontanal usando no codificador e o decodificador ilustrado no diagrama da Figura 1, foi construído usando uma distribuição de grau conhecida como Sóliton Robusta Melhorada. A distribuição Sóliton Robusta foi utilizada para alguns testes iniciais e entendimento de aspectos teóricos destes códigos. Alguns aspectos relacionados às ferramentas usadas no desenvolvimento da pesquisa serão definidos nas seções seguintes.

Desta maneira, apresentaremos aqui o estudo que foi realizado sobre o sistema de codificação-decodificação fontanal, para canais com apagamento, ou seja, códigos LT. E apresentaremos também a análise de desempenho que foi realizada, mostrando que o uso de códigos LT pode representar uma vantagem para aumentar a confiabilidade da comunicação.

## Canal

Para compreendermos melhor os códigos LT é preciso um estudo e entendimento mais detalhado dos modelos de canais com apagamento, ou seja, através do qual a mensagem é enviada e, na saída, recebida corrompida (ditas apagadas).

Na pesquisa desenvolvida foi utilizado um canal binário com apagamento chamado de BEC (*Binary Erasure Channel*). Este modelo é bastante utilizado na Teoria da Informação e Códigos pois é um dos canais que modela de forma útil alguns sistemas práticos.

Neste canal apenas os símbolos “0” ou “1” (*bits*) podem ser transmitidos como informação --- isto é, são aceitos em sua entrada. Como não se trata de um canal ideal, podemos receber os *bits* enviados (sem erro) ou podemos ter, na saída do canal um apagamento, ou seja, um símbolo que não sabemos se é o *bit* “0” ou o *bit* “1”. Vale ressaltar também que o BEC não é um canal que introduz erro, pois sempre que o *bit* “0” ou o *bit* “1” é recebido, temos certeza que estes foram, de fato, os *bits* enviados --- isto quer dizer que ao receber um o *bit* “0” ou o *bit* “1”, a confiabilidade de estar correto é 100%. A Fig. 2 a seguir ilustra um sistema onde a informação transmitida é uma seqüência de zeros e uns e a seqüência recebida é uma seqüência de zeros, uns ou apagamentos. Se representarmos o símbolo correspondente ao apagamento por “?” podemos representar o canal com apagamento pelo diagrama da Fig. 3.

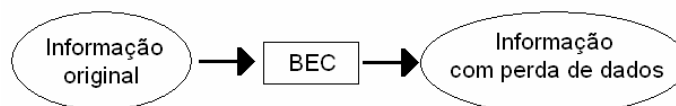


Figura2: Diagrama do sistema de comunicação com BEC

Se, por exemplo, o pacote de 12 símbolos binários “001 101 100 111” é enviado através do BEC é possível que o pacote recebido seja “001 ?01 10? 111”. Neste caso dois símbolos binários fora apagados ao atravessar o canal.

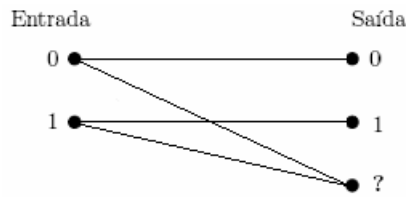


Figura 3: Representação do Canal BEC

O BEC fica completamente caracterizado quando conhecemos a probabilidade de ocorrência de um apagamento --- se denominarmos por  $x$  o símbolo de entrada do canal e por  $y$  o símbolo de saída dizemos que

$$\text{Rho} = P(y=? | x=0) = P(y=? | x=1)$$

é a probabilidade de apagamento do canal.

O sistema codificador-decodificador está inteiramente relacionado com a probabilidade de apagamento do canal, pois é esta que definirá a redundância que deverá ser introduzida na codificação para que seja realizada uma decodificação sem erros. Assim, algumas simulações foram realizadas e chegou-se a seguinte conclusão: quanto maior a probabilidade de apagamento, maior é a quantidade de símbolos codificados que devem ser transmitidos, ou seja, estas duas quantidades são diretamente proporcionais. No gráfico da Fig. 4 apresentamos a capacidade do canal BEC ( $C=1-\text{rho}$ ) assim como a capacidade de dois outros canais (BSC e Z) derivados do BEC. Nele observamos também que os canais BSC e Z possuem uma capacidade

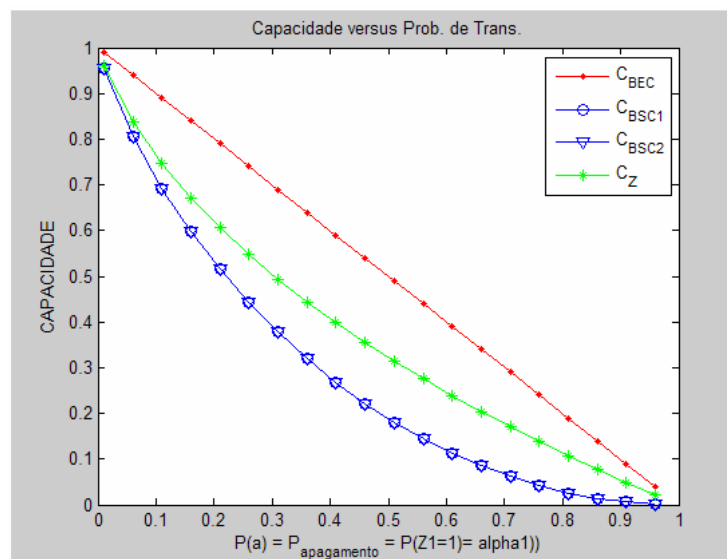


Figura 4: Capacidade do Canal X Probabilidade de Transmissão

inferior ao BEC, uma vez que estes canais foram obtidos transformando-se o BEC (um canal com saída ternária) em um canal com saída binária. O BEC é transformado no canal Z substituindo-se os apagamentos pelo bit “1” (i.e., introduzindo erro se o bit enviado foi o bit “0”). Da mesma forma o canal BEC foi pode ser transformado em um BSC (substituindo-se aleatoriamente os apagamentos do BEC por bits “0” ou “1”). O canal Z e o BSC são canais que introduzem erro.

No gráfico da Fig. 5 a probabilidade de erro versus qualidade-do-canal, ao se transmitir bits através do BEC e do BSC são apresentadas.

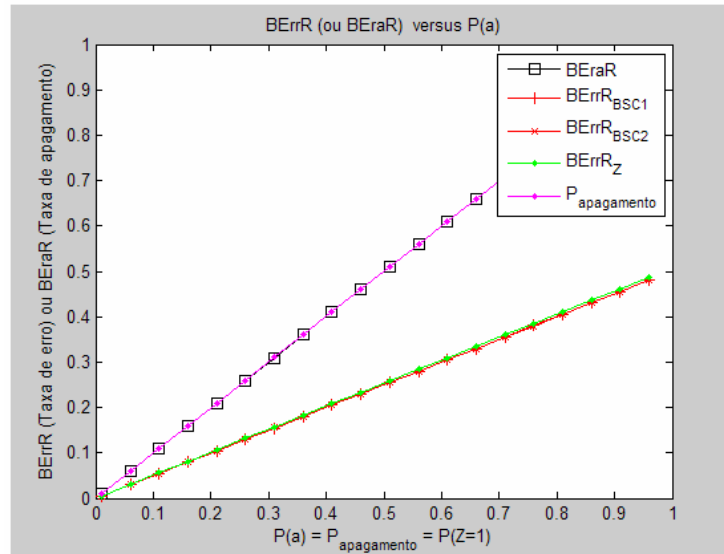


Figura 5: Taxa de apagamento versus Apagamento (ou erro).

A Fig. 6, a seguir, mostra o resultado dos testes realizados quando os bits que compõem uma imagem (neste caso a imagem, em formato TIF, conhecida por LENA.TIF), sem a proteção de um código são enviados através do canal. A imagem original (produzida pela fonte de informação) é exibida no lado esquerdo da Fig. 6. A probabilidade de erro do canal ( $\rho$ ) foi variada desde 0.01 ao valor 0.99, em incrementos de 0.05. Ao final, com  $\rho = 0.99$  (um canal extremamente hostil) obtemos, na saída, a imagem apresentada no lado esquerdo da Fig.6..

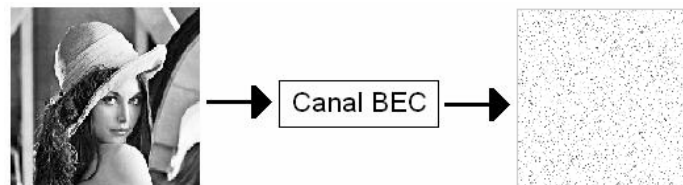


Figura 6: Lena\_entrada → BEC → Lena\_sáida

### Codificador

O processo de codificação LT é considerado universal dado que sua eficiência aumenta quanto maior o tamanho do bloco de informação que se está trabalhando, além

de, por trabalhar com operações do tipo XOR, os codificadores executam a codificação de maneira rápida.

O processo convive com o seguinte dilema: considera-se como entrada do codificador um bloco de tamanho  $k$ , ou seja, a informação é formada por  $k$  símbolos binários; sua saída é um novo bloco com tamanho  $n \geq k$  que contém a informação inicial codificada. Dessa forma, a taxa de transmissão do codificador ( $R$ ) e a redundância ( $r$ ) são dadas, respectivamente, por:

$$R = k/n$$

$$r = n - k$$

Essa redundância é inserida visando reduzir os efeitos da perturbação introduzida pelo canal sobre a informação recebida --- como foi mostrado anteriormente, em canal com probabilidade de apagamento 0,99 a informação recuperada (que corresponde à informação observada na saída do canal) muita pouca relação tem com a mensagem que foi enviada (imagem LENA). Assim, ao codificarmos a informação original, antes de enviá-la através do canal, aumentamos o tamanho do vetor inicial para que caso haja alguma perda de informação consigamos, usando a redundância, recuperar corretamente cada *bit* enviado --- isto é de forma que, ainda que alguns símbolos não tenham sido recebidos corretamente, foram apagados, a mensagem original possa ser recebida sem erros ou com um pequeno número de bits errados (quando a fonte transmite imagens, a comunicação é aceitável se o número de bits errados é pequeno).

A codificação consiste, portanto, em operações de adição módulo 2 (ou XOR) realizada entre os elementos de uma cópia da informação inicial que chamaremos de  $s$ , onde o tamanho de  $s$  é  $|s|=k$ . A cada símbolo binário  $c_i$ , ou *bit*, do bloco de saída  $c$ , de tamanho  $|C| = n$  é atribuído um grau  $g_i$ . Para obter o valor de cada *bit* de saída  $c_i$  ( $c_i=0$  ou  $c_i=1$ )  $g_i$  números  $i_1, i_2, i_g$ , inteiros, distintos, com valores entre 1 e  $k$  são selecionados aleatoriamente e o valor de  $c$  é dado pela soma (soma módulo 2)

$$c_i = s_{i_1} + s_{i_2} + \dots + s_{i_g}$$

Os graus  $g_1, g_2, \dots, g_n$  podem ser representados por um vetor  $\mathbf{g} = (g_1, g_2, \dots, g_n)$  de tamanho  $|\mathbf{g}|=n$  que pode ser gerado de diferentes maneiras. Trabalharemos aqui com a geração aleatória que segue a distribuição de graus chamada de Sóliton Robusta (para blocos com tamanho muito pequeno, menor do que 32 bits), e Sóliton Robusta Melhorada para blocos maiores.

Em nossa implementação decidimos testar uma escolha de símbolos de entrada para realizar a soma módulo-2 que produz o símbolo  $c_i$ , determinística. Ou seja, para gerar o  $i$ -ésimo símbolo  $i$ , do vetor de saída  $c$ , realizamos o XOR dos  $g_1$  primeiros símbolos de  $c$  (para gerar o símbolo  $c_1$ ), dos  $g_2$  símbolos seguintes de  $c$  (para gerar o símbolo  $c_2$ ) e assim por diante. Acreditamos que esta maneira pode simplificar, sem prejuízos para o desempenho, a implementação do codificador.

A visualização desse sistema torna-se mais simples se o representarmos por um grafo bi-particionado. Podemos associar os  $k$  *bits* bloco de entrada  $s$  com **nós de entrada** do grafo, e os  $n$  *bits* do bloco  $c$ , de saída do codificador, com **nós de saída** do grafo. Os nós de entrada na posição  $(i_1+1), \dots, (i_1+g_i)$ , são adicionados módulo-2 e

o resultado  $[s_{(i+1)} + s_{(i+2)} + \dots + s_{(i+g_i)}]$ , que constituem o símbolo de saída  $c_i$  são associados ao nó de saída  $c_i$  --- o grafo é completado unidos os nós de entrada ao nó de saída por arestas (que poderiam ser representadas por  $\{s_{(i+1)} \rightarrow c_i\}$ ,  $\{s_{(i+2)} \rightarrow c_i\}$ , ...,  $\{s_{(i+g_i)} \rightarrow c_i\}$ ). Vejamos um exemplo.

**Exemplo1:**

Considere o seguinte vetor de entrada  $s = (s_1, s_2, s_3, s_4) = (1,1,0,1)$ , uma taxa de transmissão do codificador  $R = 4/5$  e o seguinte vetor de graus  $g = (g_1, g_2, g_3, g_4, g_5) = (4, 2, 3, 1, 2)$ . Esses são os elementos necessários para que a codificação seja realizada. O processo de codificação está representado na tabela abaixo:

Saída (c)	Grau (g)	Vizinhos (s)	Valores das entradas	Valor da saída
c1	4	s1 s2 s3 s4	1 1 0 1	1
c2	2	s1 s2	1 1	0
c3	3	s3 s4 s1	0 1 1	0
c4	1	s2	1	1
c5	2	s3 s4	0 1	1

Tabela 1: Processo de codificação.

A partir dessa tabela podemos construir um grafo ilustrativo.

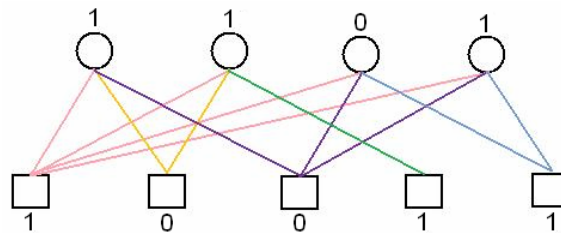


Figura 7: Grafo da codificação

Visto isso, apresentamos um resultado mais fácil de ser visualizado de nossas simulações, ou seja, no lugar de uma pequena seqüência de *bits*, como entrada, utilizaremos a imagem LENA.TIF. Trata-se, portanto, de um bloco maior e que precisa ser subdividido em uma seqüência muito grande de pacotes (cada linha da imagem, com 256 bytes, foi tomada como um pacote) --- esta seqüência de pacotes foi processada pelo codificador.

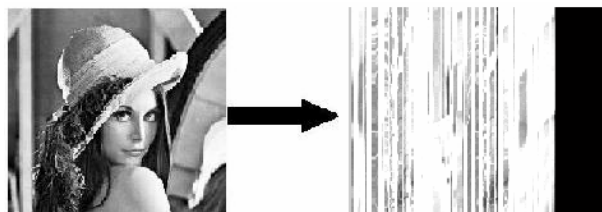


Figura 8: Lena → Lena codificada

## Decodificador

É possível que o bloco  $\mathbf{y}$  recebido pelo receptor seja diferente do bloco  $\mathbf{c}$  produzido pelo codificador, mas vamos considerar inicialmente, para explicar o processo de decodificação que  $\mathbf{y}=\mathbf{c}$  (estamos supondo que o canal não apagou nenhum símbolo transmitido). Precisamos agora decodificar a informação recebida  $\mathbf{y}$  e a partir desta, recuperar a mensagem original. Como houve apagamentos, o usuário poderá receber uma mensagem  $\mathbf{u}$  igual à mensagem original  $\mathbf{s}$  original, sem erros, ou seja,  $\mathbf{u}=\mathbf{s}$ .

Para que o processo de decodificação seja realizado é preciso que o decodificador conheça a distribuição de graus utilizada para se obter os graus iniciais, ou seja, o vetor  $\mathbf{g}$ , sua entrada será o vetor  $\mathbf{y}=\mathbf{c}$  que é a mensagem codificada após atravessar o canal e a saída (do decodificador), que será o que queremos descobrir, é o vetor  $\mathbf{u}$ . Basta que o decodificador conheça o grafo mostrado anteriormente na Figura 8 (o mesmo grafo usado pelo codificador).

Para ficar mais claro, opta-se por descrever o processo empregando-se novamente o grafo. O algoritmo opera da seguinte maneira:

### ALGORITMO DE DECODIFICAÇÃO

1. Primeiramente devemos encontrar um nó de entrada do decodificador (são  $n$  os nós de entrada do decodificador), ou seja, a componente  $y_i$  de  $\mathbf{y}$  (entrada do decodificador), que possua grau unitário e transferimos este valor ( $y_i$ ) para a saída do decodificador  $u_j$  (conectada ao nó  $y_j$ ), fazendo  $u_j = y_i$ .
2. Caso não haja nenhum nó com essa característica o decodificador declara que houve **falha** no processo. Nesta situação, é preciso que mais símbolos codificados sejam enviados para que o processo de decodificação prossiga (caso isto não seja possível – re-envio - o processo termina com falha e apenas alguns bits serão recuperados).
3. Caso contrário, o processo continua de modo que todos os nós de entrada vizinhos do nó  $u_j$  (sejam estes designados por  $y_{j1}$ ,  $y_{j2}$ , ...,  $y_{jg}$  --- estes são os nós de entrada ligados por uma aresta ao nó de saída do decodificador,  $u_j$ ) têm os seus valores alterados ou atualizados, para  $(y_{j1}+u_j)$ ,  $(y_{j2}+u_j)$ , ...,  $(y_{jg}+u_j)$  i.e., são adicionados, módulo-2 (XOR), a  $U_j$ .
4. O valor  $u_j$  é considerado descoberto e as arestas  $(y_{j1} \rightarrow u_j)$ ,  $(y_{j2} \rightarrow u_j)$ , ...,  $(y_{jg} \rightarrow u_j)$  são removidas, juntamente com o nó  $u_j$ , do grafo.
5. O processo se repete, utilizando agora o novo grafo (sem as arestas removidas e nó descoberto) retornando-se ao PASSO 1 até que haja uma falha ou toda a mensagem tenha sido decodificada (os valores de  $\mathbf{u}$  descobertos).

O processo pode ser melhor observado e compreendido acompanhando-se o exemplo que segue.

### Exemplo2:

Considere que  $y = (u_1, u_2, u_3, u_4, u_5, u_6) = (100111)$  é o vetor recebido. A aplicação do Algoritmo de Decodificação pode ser observada na Figura 9, acompanhando a evolução do grafo associado a cada passo do algoritmo. A seqüência de grafos mostrada na Figura 9, ilustra o processo de decodificação --- observe que neste caso a mensagem original  $s = (10011)$  foi recuperada pelo decodificador (ou seja  $u=s$ ).

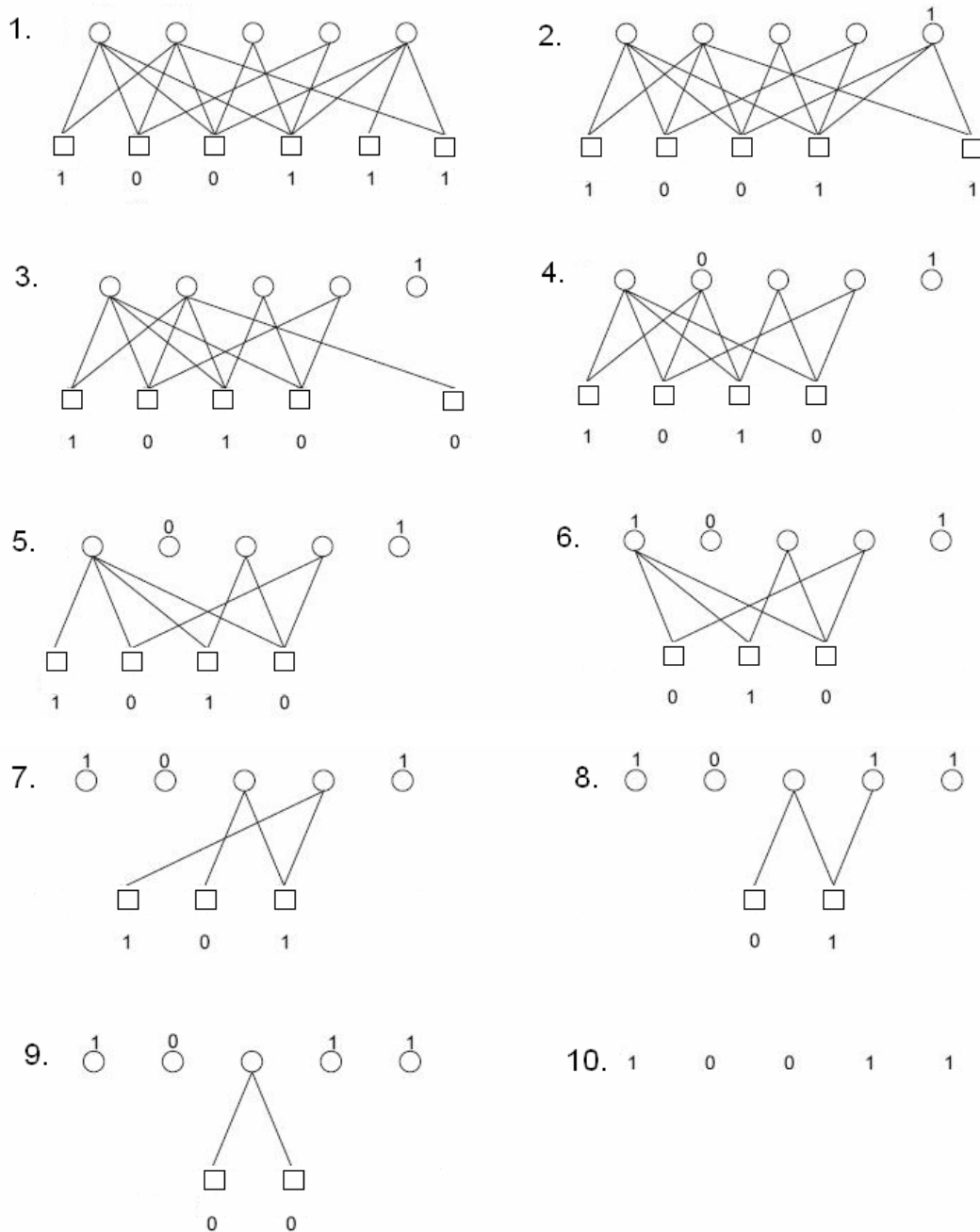


Figura 9: Grafos do processo de decodificação

Ao aplicar esta técnica de codificação-decodificação em nossa pesquisa, onde se considera que o canal introduz apagamentos observa-se dois resultados: em um deles o

processo não falha e a informação enviada é recuperada sem erro (como na Figura 9) e, outro, em que há falha de decodificação e a informação recuperada conterá apagamentos. Por exemplo, se o vetor recebido fosse  $\mathbf{y} = (u_1, u_2, u_3, u_4, u_5, u_6) = \{100?11\}$ , é fácil verificar que o vetor à saída do decodificador seria  $\mathbf{u} = (10?11)$  diferente de  $\mathbf{s}$ . Neste caso, ao usuário, como os símbolos entregues devem ser “zeros” ou “uns”, é necessário substituir o símbolo “?” por “0” ou “1” --- sendo esta substituição feita aleatoriamente, a informação entregue ao usuário seria, em 50% das vezes,  $\hat{\mathbf{s}} = (10111)$ , **CONTENDO ERRO**, ou  $\hat{\mathbf{s}} = (10011)$  sem erros outras 50% das vezes. A Figura 10 ilustra a situação onde a decodificação falhou.

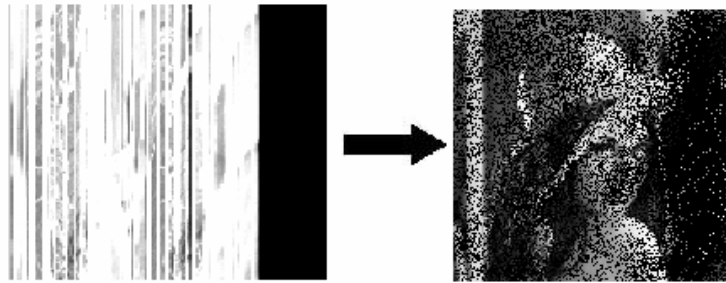


Figura 10: Lena Codificada (imagem da esquerda) e Lena Decodificada com erros, quando há falha de decodificação (imagem da direita)

Diferentes tipos de falhas podem ocorrer, se a falha ocorre logo no início do processo de decodificação, muitos símbolos, não serão descobertos (permanecerão apagados) e não se consegue, às vezes, recuperar uma mensagem que possa ser identificada como a mensagem original, no entanto se a falha ocorrer na parte final do processo a mensagem pode ser parcialmente compreendida (i.e., pode guardar uma grande semelhança com a mensagem original).<sup>1</sup> Além disso, como a geração dos graus é aleatória não sabemos previamente em qual parte do processo existe maior possibilidade de ocorrer esses erros, por isso, quando se deseja proteger a informação mais fortemente, adiciona-se muita redundância (i.e., trabalha-se com uma taxa de codificação  $R$ , mais baixa).

## Desempenho

Através de simulações pode-se avaliar o desempenho desta técnica de codificação-decodificação --- para isto, utilizam-se diferentes parâmetros, ou seja, variados tamanhos para a imagem além de variadas taxas de transmissão do codificador ( $R$ ) e redundância ( $r$ ) e observa-se que parâmetros conduzem o processos a decodificação com sucesso ou satisfatória.

Em canais com apagamento, o desempenho também se mostrou eficiente. Apesar da informação passar por um meio adverso o processo de codificação e decodificação é bastante eficaz e observou-se que  $R$  deve ser inversamente proporcional à taxa de apagamento do canal, mostrando assim que é possível obter decodificação com sucesso usando um *overhead* pequeno (conforme verificado e analisado anteriormente).

<sup>1</sup> É importante observar, em se tratando de mensagens como imagens ou vídeos, que ter uma mensagem recuperada semelhante à mensagem original pode ser útil mas, no caso de outras mensagens (por exemplo dados bancários ou dados, genericamente) erros não são admitidos.

O gráfico a seguir, Figura 11, ilustra os conceitos aqui discutidos.

## Conclusão

Neste trabalho buscou-se não apenas fazer um estudo códigos fontanais (códigos LT), como também analisar (via simulação) o desempenho de um sistema que utiliza este tipo de código.

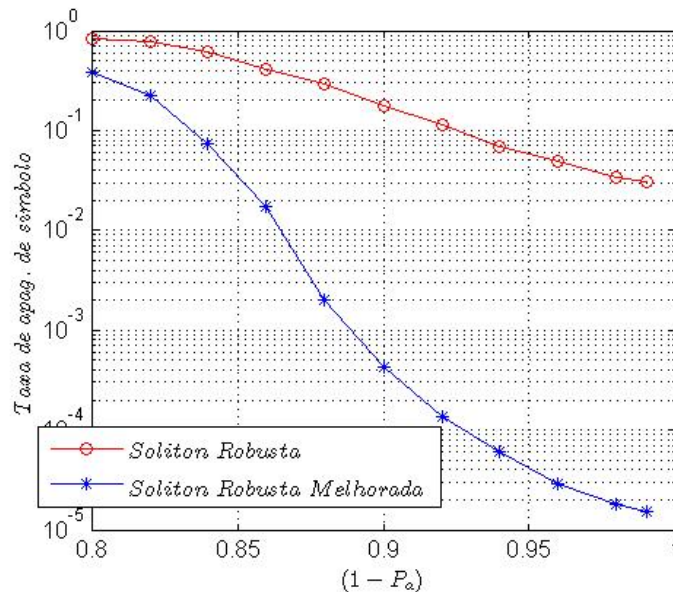


Figura 11: Taxa de apagamento versus qualidade do canal (para um overhead fixo).

O objetivo foi desenvolver as ferramentas de software (em MATLAB) para realizar a análise e observar na prática (via simulação) os resultados prometidos pela teoria. Nos programas utilizados nas simulações, implementou-se o canal BEC e segundo suas características e testamos nele os processos de codificação e decodificação LT.

O software continua em desenvolvimento. Alguns resultados (como o da Figura 11) foram obtidos com um programa desenvolvido para uma tese de mestrado<sup>2</sup>. O plano é prosseguir e analisamos, portanto, o desempenho para diferentes taxas de apagamento do canal ( $\rho$ ), partindo de um canal ideal, onde esta taxa é igual a zero, e assim aumentando-a progressivamente, analisar o desempenho em função de  $R$  e  $\rho$ .

<sup>2</sup> Sanchez Paiba, Franklin Antonio, **Códigos Fontanais Bidimensionais para Canais com Apagamento**, Dissertação de Mestrado, PUC-Rio, 2008.

Como dito anteriormente, o resultado mais importante observado foi o de que o desempenho do sistema melhora quando o tamanho do vetor de informação aumenta. Acreditamos que esses códigos serão muito empregados nos sistemas de “telecomunicações” mais atuais.